

Обыкновенные дифференциальные уравнения

Задача Коши

Методы Рунге-Кутты. Методы Адамса

Цыбулин Иван (tsybulin@crec.mipt.ru)

Задача Коши для ОДУ

Рассмотрим дифференциальное уравнение первого порядка вида

$$\frac{dy(t)}{dt} = G(t, y(t)), \quad 0 < t \leq T$$

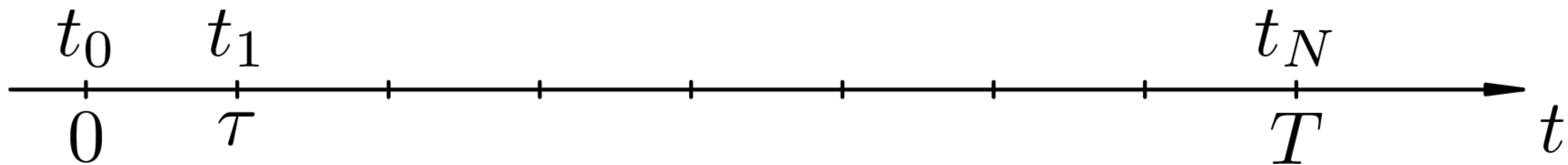
Чтобы выделить единственное решение, необходимо наложить дополнительные условия, например,

$$y|_{t=0} = y_0$$

Так поставленная задача называется *задачей Коши*.

Сетка

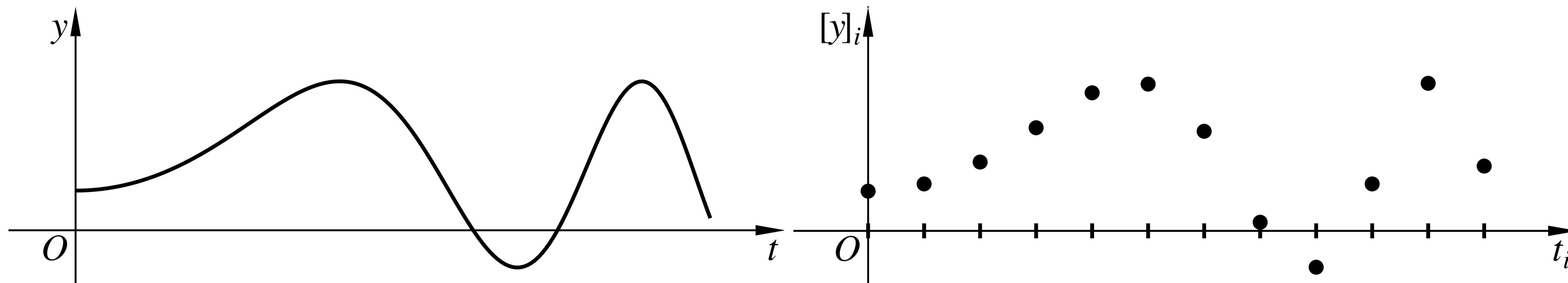
Для решения задачи Коши на отрезке $[0, T]$ вводят сетку (равномерную или неравномерную), а вместо функции $y(t)$ ищут ее значения в узлах сетки.



Сеточная функция

Функция u_n , заданная в узлах сетки, в отличие от непрерывной $y(t)$, является элементом конечномерного пространства \mathbb{R}^N . Из любой непрерывной функции $y(t)$ можно получить сеточную, данная операция называется проецированием:

$$u_n = [y]_n \equiv y(t_n)$$



Разностная задача

Для нахождения сеточной функции формулируется *разностная задача*, «похожая» на исходную дифференциальную.

Например,

$$\begin{cases} \frac{dy}{dt} + \sin y(t) = 1, & 0 < t \leq 2 \\ y(0) = 5 \end{cases} \implies \begin{cases} \frac{u_{n+1} - u_n}{\tau} + \sin u_n = 1, & n = 0, \dots, N - 1 \\ u_0 = 5 \end{cases}$$

Легко видеть, что при стремлении $\tau \rightarrow 0$ разностная задача переходит в дифференциальную.

Аппроксимация

Более строго, говорят, что разностная задача *аппроксимирует* дифференциальную, если проекция точного решения дифференциальной задачи удовлетворяет разностной задаче с малой невязкой. Эта невязка называется ошибкой аппроксимации.

Чем меньше ошибка аппроксимации, тем точнее разностная задача приближает дифференциальную. Если ошибка аппроксимации имеет величину $O(\tau^p)$, то говорят, что порядок аппроксимации равен p .

Изучение аппроксимации

Рассмотрим дифференциальную задачу Коши

$$\begin{aligned}y'(t) + \sin y(t) &= 0 \\ y(0) &= 1\end{aligned}$$

и разностную задачу

$$\begin{aligned}\frac{u_{n+1} - u_n}{\tau} + \sin\left(u_n - \frac{\tau}{2}\sin u_n\right) &= 0 \\ u_0 &= 1\end{aligned}$$

Для изучения аппроксимации подставим $u_n = [y]_n$.

Изучение аппроксимации

После подстановки в разностном уравнении возникает невязка ($[y]_n$ — не решение разностной задачи)

$$\frac{[y]_{n+1} - [y]_n}{\tau} + \sin\left([y]_n - \frac{\tau}{2}\sin[y]_n\right) = \delta_{n+1}$$
$$[y]_0 = 1 + \delta_0$$

Так как $[y]_0 = y(0) = 1$, ошибка аппроксимации в нулевом узле δ_0 равна нулю. Найдем величину δ_{n+1} , учитывая, что $y(t)$ удовлетворяет условиям

$$y'(t) + \sin y(t) = 0$$
$$y(0) = 1$$

Изучение аппроксимации

$$\delta_{n+1} = \frac{[y]_{n+1} - [y]_n}{\tau} + \sin\left([y]_n - \frac{\tau}{2} \sin[y]_n\right)$$

Пользуясь формулой Телора можем записать:

$$y(t_n + \tau) = y(t_n) + \tau y'(t_n) + \frac{\tau^2}{2} y''(t_n) + \frac{\tau^3}{6} y'''(t_n) + O(\tau^4)$$

Используя обозначение проекции, эта формула запишется в виде

$$[y]_{n+1} = [y]_n + \tau [y']_n + \frac{\tau^2}{2} [y'']_n + \frac{\tau^3}{6} [y''']_n + O(\tau^4)$$

Изучение аппроксимации

$$\begin{aligned} [y]_{n+1} &= [y]_n + \tau [y']_n + \frac{\tau^2}{2} [y'']_n + \frac{\tau^3}{6} [y''']_n + O(\tau^4) \\ \delta_{n+1} &= \frac{[y]_{n+1} - [y]_n}{\tau} + \sin\left([y]_n - \frac{\tau}{2} \sin[y]_n\right) = \\ &= [y']_n + \frac{\tau}{2} [y'']_n + \frac{\tau^2}{6} [y''']_n + O(\tau^3) + \\ &+ \sin[y]_n - \frac{\tau}{2} \sin[y]_n \cos[y]_n - \frac{\tau^2}{8} \sin^3[y]_n + O(\tau^3) \end{aligned}$$

Изучение аппроксимации

Собирая слагаемые одного порядка вместе, получаем

$$\delta_{n+1} = ([y']_n + \sin[y]_n) + \frac{\tau}{2}([y'']_n - \sin[y]_n \cos[y]_n) + \frac{\tau^2}{24}(4[y''']_n - 3 \sin^3[y]_n) + O(\tau^3)$$

Слагаемое $[y']_n + \sin[y]_n$ обнуляется, так как $y' + \sin y = 0$. Но оказывается, что и второе слагаемое также обнуляется:

$$y' = -\sin y \implies y'' = -y' \cos y = \sin y \cos y$$

Таким образом, $\delta_{n+1} = O(\tau^2)$. Имеем аппроксимацию второго порядка.

Устойчивость

Оказывается, что одной аппроксимации недостаточно, чтобы гарантировать близость решений разностной задачи u_n и точного решения дифференциальной задачи $[y]_n$. Для этого необходимо, чтобы разностная задача была *устойчивой*.

Пусть u_n — решение разностной задачи, а v_n — решение возмущенной задачи:

$$\begin{cases} \frac{u_{n+1}-u_n}{\tau} + \sin\left(u_n - \frac{\tau}{2}\sin u_n\right) = 0 \\ u_0 = 1 \end{cases} \quad \begin{cases} \frac{v_{n+1}-v_n}{\tau} + \sin\left(v_n - \frac{\tau}{2}\sin v_n\right) = \epsilon_{n+1} \\ u_0 = 1 + \epsilon_0 \end{cases}$$

Устойчивость разностной задачи означает существование такой константы C , что

$$\max_n |u_n - v_n| \leq C \max_n |\epsilon_n|,$$

причем C не зависит от шага τ .

```
import numpy as np
```

```
def difference_solution(N, eps=0):
```

```
    T = 1.0
```

```
    tau = T / N
```

```
    u = np.zeros(N+1)
```

```
    u[0] = 1 + eps * np.random.rand(1)
```

```
    for n in range(N):
```

```
        k1 = -np.sin(u[n])
```

```
        k2 = -np.sin(u[n] + tau/2 * k1)
```

```
        u[n+1] = u[n] + tau * k2 + tau * eps * np.random.rand(1)
```

```
    return u
```

```
# Проверяем устойчивость
```

```
for N in 2**np.arange(3, 10):
```

```
    u = difference_solution(N)
```

```
    v = difference_solution(N, 1e-6)
```

```
    print('N =', N, ' max |u_n - v_n| =', np.linalg.norm(u - v, np.inf))
```

N = 8 max |u_n - v_n| = 7.0643050476e-07

N = 16 max |u_n - v_n| = 8.03801930682e-07

N = 32 max |u_n - v_n| = 7.20776045626e-07

N = 64 max |u_n - v_n| = 4.28423205578e-07

N = 128 max |u_n - v_n| = 3.53711414103e-07

N = 256 max |u_n - v_n| = 7.21712172358e-07

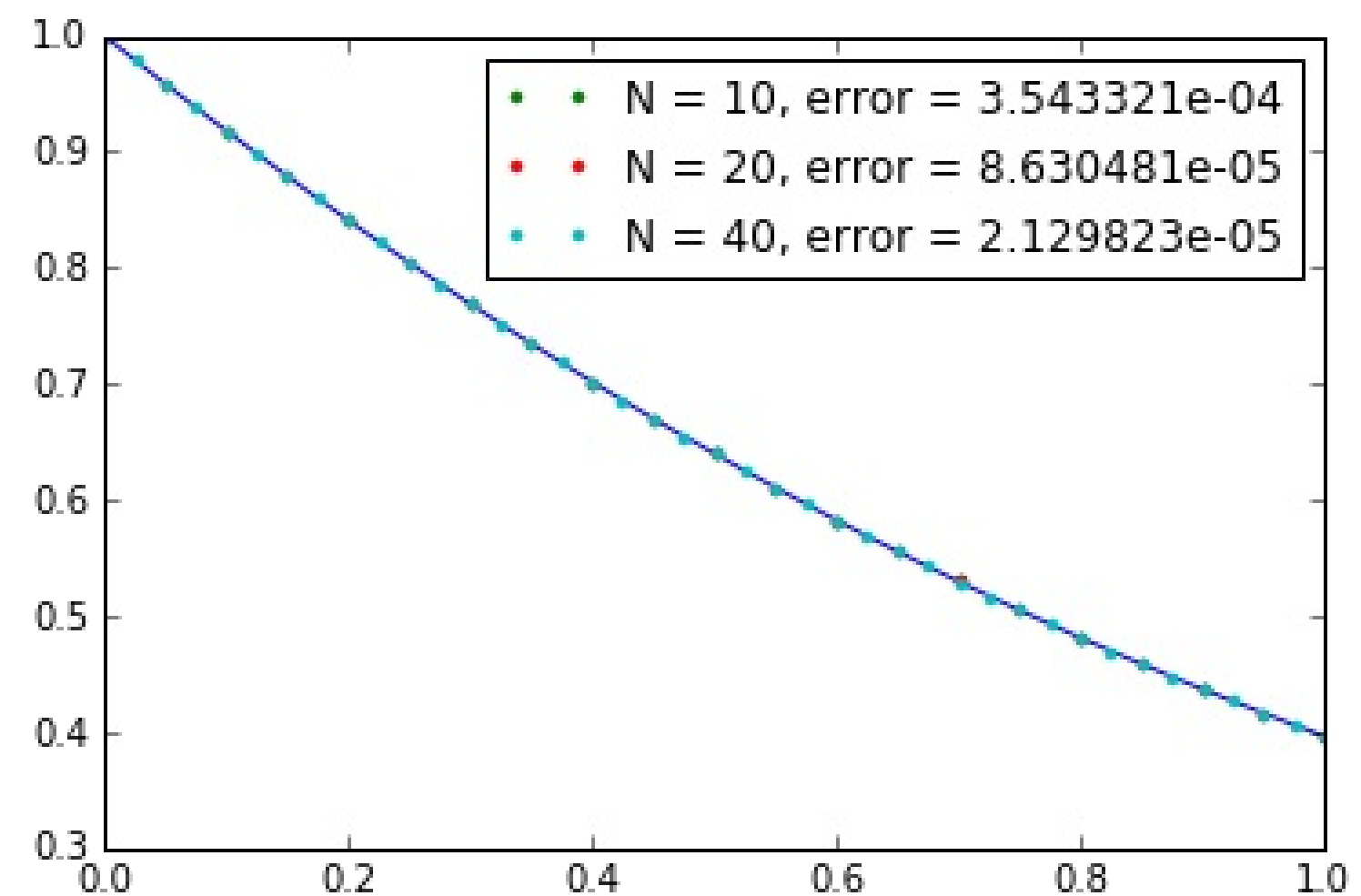
N = 512 max |u_n - v_n| = 3.8929621804e-07

```

import matplotlib.pyplot as plt
%matplotlib inline

def exact_solution(t): return 2 * np.arctan(np.exp(-t) * np.tan(0.5))
# Сравним численное решение с точным
plt.plot(np.linspace(0, 1, 1000), exact_solution(np.linspace(0, 1, 1000)))
for N in [10, 20, 40]:
    u = difference_solution(N)
    y = exact_solution(np.linspace(0, 1, N+1))
    plt.plot(np.linspace(0, 1, N+1), u, '.',
             label='N = %d, error = %e' % (N, np.linalg.norm(u - y, np.inf)))
plt.legend(); plt.show()

```



Неустойчивые схемы

Рассмотрим следующую разностную задачу

$$\frac{2u_{n+1} + u_n - 3u_{n-1}}{5\tau} + \frac{9 \sin u_n + \sin u_{n-1}}{10} = 0, \quad n = 1, \dots, N - 1$$

$$u_0 = 1, \quad u_1 = 1 - \tau \sin 1$$

Можно убедиться, что эта задача аппроксимирует со вторым порядком ту же дифференциальную задачу

$$\begin{aligned} y'(t) + \sin y(t) &= 0 \\ y(0) &= 1 \end{aligned}$$

```

def unstable_method(N, eps=0):
    T = 1.0
    tau = T / N
    u = np.zeros(N+1)
    u[0] = 1 + eps * np.random.rand(1)
    u[1] = 1 - tau * np.sin(1) + eps * np.random.rand(1)
    for n in range(1, N):
        rhs = 0.9 * np.sin(u[n]) + 0.1 * np.sin(u[n-1])
        u[n+1] = 0.5*(3*u[n-1]-u[n] - 5*tau*rhs + 5*tau*eps*np.random.rand(1))
    return u

# Проверяем устойчивость
for N in 2**np.arange(3, 10):
    u = unstable_method(N)
    v = unstable_method(N, 1e-6)
    print('N =', N, ' max |u_n - v_n| =', np.linalg.norm(u - v, np.inf))

```

N = 8 max |u_n - v_n| = 5.57383362154e-06

N = 16 max |u_n - v_n| = 0.000422585953988

N = 32 max |u_n - v_n| = 0.0864150519454

N = 64 max |u_n - v_n| = 24380.7386585

N = 128 max |u_n - v_n| = 3.37333692632e+15

N = 256 max |u_n - v_n| = 1.94248734307e+38

N = 512 max |u_n - v_n| = 3.50060667232e+83

```
# Сравним численное решение с точным
```

```
plt.plot(np.linspace(0, 1, 1000), exact_solution(np.linspace(0, 1, 1000)))
```

```
for N in [5, 10, 20]:
```

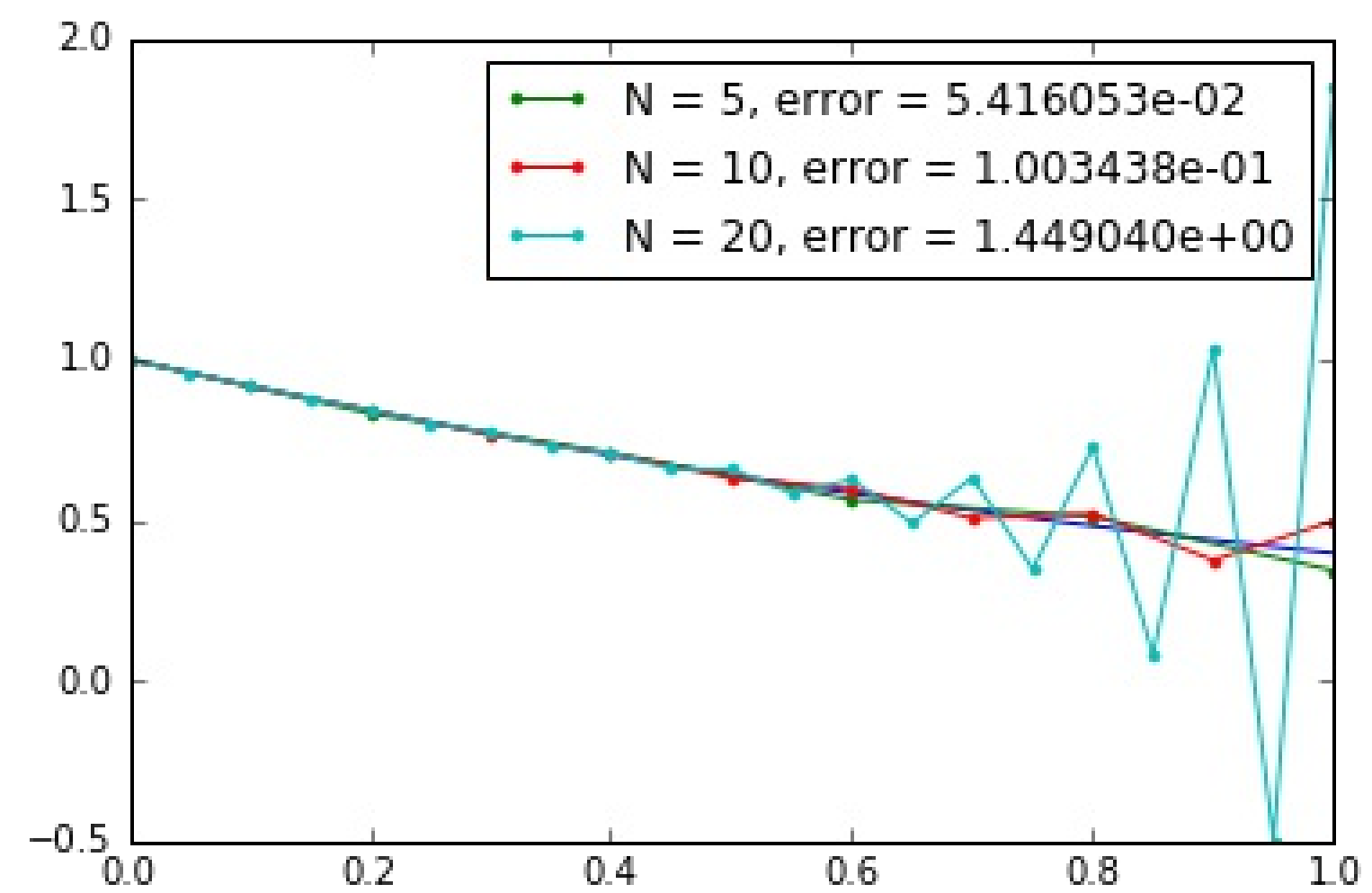
```
    u = unstable_method(N)
```

```
    y = exact_solution(np.linspace(0, 1, N+1))
```

```
    plt.plot(np.linspace(0, 1, N+1), u, '-.-',
```

```
            label='N = %d, error = %e' % (N, np.linalg.norm(u - y, np.inf)))
```

```
plt.legend(); plt.show()
```



Методы Рунге-Кутты

Методы Рунге-Кутты относятся к одношаговым методам, то есть для вычисления решения в узле t_{n+1} необходимо знать лишь решение в узле t_n . Каждый такой шаг состоит из нескольких *стадий*. На каждой стадии вычисляется вспомогательная величина — наклон k_i , $i = 1, \dots, s$, s — число стадий.

Шаг метода Рунге-Кутты

Для уравнения (или системы уравнений)

$$\mathbf{y}'(t) = \mathbf{G}(t, \mathbf{y}(t))$$

один шаг s -стадийного метода Рунге-Кутты для перехода от t_n к t_{n+1} задается формулами

$$\mathbf{k}_1 = \mathbf{G} \left(t_n + c_1 \tau, \mathbf{u}_n + \tau \sum_{j=1}^s a_{1j} \mathbf{k}_j \right)$$

\vdots

$$\mathbf{k}_s = \mathbf{G} \left(t_n + c_s \tau, \mathbf{u}_n + \tau \sum_{j=1}^s a_{sj} \mathbf{k}_j \right)$$

$$\frac{\mathbf{u}_{n+1} - \mathbf{u}_n}{\tau} = \sum_{i=1}^s b_i \mathbf{k}_i$$

c_1	a_{11}	a_{12}	\dots	a_{1s}
c_2	a_{21}	a_{22}	\dots	a_{2s}
\vdots	\vdots	\vdots	\ddots	\vdots
c_s	a_{s1}	a_{s2}	\dots	a_{ss}
	b_1	b_2	\dots	b_s

Коэффициенты метода

Числа c_i, a_{ij}, b_i являются фиксированными константами, которые определяют конкретный численный метод. Их часто организуют в *таблицу Бутчера*

c_1	a_{11}	a_{12}	\dots	a_{1s}
c_2	a_{21}	a_{22}	\dots	a_{2s}
\vdots	\vdots	\vdots	\ddots	\vdots
c_s	a_{s1}	a_{s2}	\dots	a_{ss}
	b_1	b_2	\dots	b_s

Фактически, все свойства конкретного метода Рунге-Кутты определяются его таблицей Бутчера.

Явные методы РК

Метод Рунге-Кутты называется явным, если его матрица A содержит нули на главной диагонали и выше нее:

$$\begin{aligned} \mathbf{k}_1 &= \mathbf{G}(t_n + c_1\tau, \mathbf{u}_n) \\ \mathbf{k}_2 &= \mathbf{G}(t_n + c_2\tau, \mathbf{u}_n + \tau a_{21}\mathbf{k}_1) \\ \mathbf{k}_3 &= \mathbf{G}(t_n + c_3\tau, \mathbf{u}_n + \tau a_{31}\mathbf{k}_1 + \tau a_{32}\mathbf{k}_2) \\ &\vdots \\ \mathbf{k}_s &= \mathbf{G}\left(t_n + c_s\tau, \mathbf{u}_n + \tau \sum_{j=1}^{s-1} a_{sj}\mathbf{k}_j\right) \\ \frac{\mathbf{u}_{n+1} - \mathbf{u}_n}{\tau} &= \sum_{i=1}^s b_i \mathbf{k}_i \end{aligned}$$

c_1	0	0	0	\dots	0
c_2	a_{21}	0	0	\dots	0
c_3	a_{31}	a_{32}	0	\dots	0
\vdots	\vdots	\vdots	\ddots	\ddots	\vdots
c_s	a_{s1}	a_{s2}	\dots	$a_{s,s-1}$	0
	b_1	b_2	\dots	b_{s-1}	b_s

Таким образом, все наклоны \mathbf{k}_i вычисляются по явным формулам друг за другом.

Полуявные методы РК

Метод Рунге-Кутты называется полуявным (диагонально-неявным), если его матрица A содержит нули выше главной диагонали:

$$\mathbf{k}_1 = \mathbf{G} (t_n + c_1\tau, \mathbf{u}_n + \tau a_{11} \mathbf{k}_1)$$

$$\mathbf{k}_2 = \mathbf{G} (t_n + c_2\tau, \mathbf{u}_n + \tau a_{21} \mathbf{k}_1 + \tau a_{22} \mathbf{k}_2)$$

$$\mathbf{k}_3 = \mathbf{G} (t_n + c_3\tau, \mathbf{u}_n + \tau a_{31} \mathbf{k}_1 + \tau a_{32} \mathbf{k}_2 + \tau a_{33} \mathbf{k}_3)$$

⋮

$$\mathbf{k}_s = \mathbf{G} \left(t_n + c_s\tau, \mathbf{u}_n + \tau \sum_{j=1}^{s-1} a_{sj} \mathbf{k}_j \right)$$

$$\frac{\mathbf{u}_{n+1} - \mathbf{u}_n}{\tau} = \sum_{i=1}^s b_i \mathbf{k}_i$$

c_1	a_{11}	0	0	...	0
c_2	a_{21}	a_{22}	0	...	0
c_3	a_{31}	a_{32}	a_{33}	...	0
⋮	⋮	⋮	⋮	⋮	⋮
c_s	a_{s1}	a_{s2}	...	$a_{s,s-1}$	a_{ss}

Неявные методы РК

В противном случае метод называется неявным. Для определения всех наклонов необходимо решить систему алгебраических уравнений относительно всех \mathbf{k}_i одновременно

$$\begin{cases} \mathbf{k}_1 = \mathbf{G}(t_n + c_1\tau, \mathbf{u}_n + \tau a_{11}\mathbf{k}_1 + \tau a_{21}\mathbf{k}_2 + \cdots + \tau a_{1s}\mathbf{k}_s) \\ \mathbf{k}_2 = \mathbf{G}(t_n + c_2\tau, \mathbf{u}_n + \tau a_{21}\mathbf{k}_1 + \tau a_{22}\mathbf{k}_2 + \cdots + \tau a_{2s}\mathbf{k}_s) \\ \vdots \\ \mathbf{k}_s = \mathbf{G}(t_n + c_s\tau, \mathbf{u}_n + \tau a_{s1}\mathbf{k}_1 + \tau a_{s2}\mathbf{k}_2 + \cdots + \tau a_{ss}\mathbf{k}_s) \end{cases}$$

$$\frac{\mathbf{u}_{n+1} - \mathbf{u}_n}{\tau} = \sum_{i=1}^s b_i \mathbf{k}_i$$

Порядок аппроксимации метода РК

Порядок аппроксимации метода Рунге-Кутты можно определить из его коэффициентов. Обычно при рассмотрении методов Рунге-Кутты принимают дополнительные условия Кутты $c_i = \sum_j a_{ij}$. Эти условия значительно упрощают выкладки при анализе и не снижают общности рассматриваемых методов. Для того, чтобы метод имел порядок p он должен удовлетворять следующим условиям порядка вплоть до p включительно:

- Условия 1-го порядка: $\sum_{i=1}^s b_i = 1$
- Условия 2-го порядка: $\sum_{i=1}^s b_i c_i = 1/2$
- Условия 3-го порядка: $\sum_{i=1}^s b_i c_i^2 = 1/3, \quad \sum_{i,j=1}^s b_i a_{ij} c_j = 1/6$

```
def rk4step(tau, tn, un, G):  
    k1 = G(tn, un)  
    k2 = G(tn + 0.5*tau, un + 0.5*tau*k1)  
    k3 = G(tn + 0.5*tau, un + 0.5*tau*k2)  
    k4 = G(tn + tau, un + tau*k3)  
    return un + tau * (k1 + 2*k2 + 2*k3 + k4) / 6.0
```

```
def G(t, u): return -np.sin(u)
```

```
def rk4(N):  
    T = 1.0  
    tau = T / N  
    u = np.zeros(N+1)  
    u[0] = 1  
    for n in range(N):  
        u[n+1] = rk4step(tau, tau*n, u[n], G)  
    return u
```

```
def exact_solution(t): return 2 * np.arctan(np.exp(-t) * np.tan(0.5))
# Сравним численное решение методом РК4 с точным
plt.plot(np.linspace(0, 1, 1000), exact_solution(np.linspace(0, 1, 1000)))
for N in [5, 10, 20]:
    u = rk4(N)
    y = exact_solution(np.linspace(0, 1, N+1))
    plt.plot(np.linspace(0, 1, N+1), u, '!',
             label='N = %d, error = %e' % (N, np.linalg.norm(u - y, np.inf)))
plt.legend(); plt.show()
```

